

量子物理计算方法选讲实验报告

李昊恩 2021010312

infinite time-evolving block decimation(iTEBD), Task 4

目录

| | |
|--------------------------------|---|
| 1 引言 | 1 |
| 1.1 模型 | 1 |
| 1.2 iTEBD 方法概述 | 1 |
| 2 代码实现 | 2 |
| 2.1 3 格点张量的更新 | 2 |
| 2.2 砖墙形时间演化算符的迭代过程 | 5 |
| 2.3 能量、磁化、纠缠熵和纠缠谱的计算 | 6 |
| 2.4 结果 | 8 |

1 引言

1.1 模型

本实验求解的模型是一个无限长（或周期边界条件）下的 1D Ising Cluster 自旋模型。该模型的哈密顿量为：

$$H = - \sum_j (gZ_{j-1}Y_jZ_{j+1} + JZ_jZ_{j+1} + hX_j), \quad (1)$$

这里 $X = \begin{pmatrix} 0 & 1 \\ 1 & 0 \end{pmatrix}$, $Y = \begin{pmatrix} 0 & -i \\ i & 0 \end{pmatrix}$, $Z = \begin{pmatrix} 1 & 0 \\ 0 & -1 \end{pmatrix}$ 是 Pauli 算子。

在本次实验中，我们将采用 3-site iTEBD（无限长时间演化块消减算法）来求解该体系的基本能量、磁化以及纠缠熵、纠缠谱。

1.2 iTEBD 方法概述

时间演化块消减方法 (TEBD) (G.Vidal, “Efficient Simulation of One-Dimensional Quantum Many-Body Systems,” **PRL** **2004**, 93, 040502) 首先被用于计算矩阵乘积态的时间演化。该

方法也可以被推广于计算 1D 无限长平移不变系统的虚时演化，进而计算基态能量。这一方法通常称为无限时间演化块消减算法 (infinite TEBD, iTEBD, G.Vidal. “*Classical Simulation of Infinite-Size Quantum Lattice Systems in One Spatial Dimension*,” **PRL** **2007**, 98, 070201)。

在本次任务中，我们考虑实现 3 张量平移不变的矩阵乘积态。设哈密顿量为 $H = \sum_j h_{j,j+1,j+2}$ ，单个切片的虚时间演化算符记为：

$$U(\tau) = e^{-\tau H}, \quad (2)$$

根据不对称单元张量的分布，可以将哈密顿量中的耦合分成三类：

$$H = \sum_{j \equiv 0 \pmod{3}} h_{j,j+1,j+2} + \sum_{j \equiv 1 \pmod{3}} h_{j,j+1,j+2} + \sum_{j \equiv 2 \pmod{3}} h_{j,j+1,j+2}, \quad (3)$$

分别对应着序号模 3 余数为 0, 1, 2 的张量与其右侧相邻的两个张量之间的耦合。

我们以 $\delta\tau$ 作为虚时演化的单元，根据 Trotter-Suzuki 分解可得：

$$U(\tau) \approx \prod_{j \equiv 0 \pmod{3}} \exp(-\delta\tau h_{j,j+1,j+2}) \prod_{j \equiv 1 \pmod{3}} \exp(-\delta\tau h_{j,j+1,j+2}) \prod_{j \equiv 2 \pmod{3}} \exp(-\delta\tau h_{j,j+1,j+2}) \quad (4)$$

由此，我们可以构建“砖墙结构”的时间演化算符，如图1所示。因为砖墙结构自身是 3 格点平移不变的，因此，我们至少需要使用 3 张量平移不变的矩阵乘积态来实现（图中是一个 2 张量平移不变的情形）。

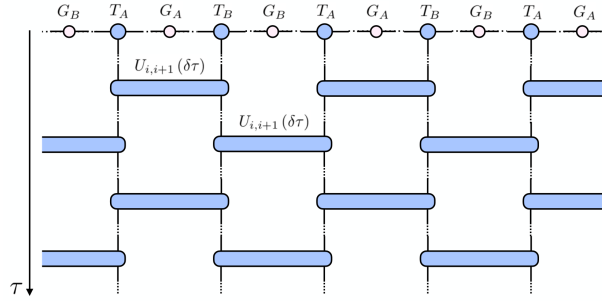


图 1: 砖墙结构的时间演化算符，以 2 位点情形为例

下面我们阐述虚时间演化的基本原理。对于哈密顿量 H ，有谱分解：

$$H = \sum_i E_i |\psi_i\rangle\langle\psi_i|, \quad (5)$$

这里 E_i 是第 i 个能量特征值，我们不妨设 $E_0 < E_1 < \dots < 0$ 。于是，对于初始态 $|\phi_0\rangle$ ，如果将时间演化算符 $U(\tau)$ 作用足够长时间：

$$\lim_{\tau \rightarrow \infty} U(\tau) |\phi_0\rangle = \lim_{\tau \rightarrow \infty} \sum_i e^{-\tau E_i} |\psi_i\rangle\langle\psi_i| |\phi_0\rangle = \lim_{\tau \rightarrow \infty} e^{-\tau E_0} \sum_i \langle\psi_i|\phi_0\rangle e^{\tau(E_0 - E_i)}, \quad (6)$$

注意到当 $i = 1, 2, \dots$ 时， $E_0 - E_i < 0$ ，所以，当作用时间演化算符的时间足够长时，只要初始态和基态有非平凡的重叠，那么体系最终一定会收敛到基态。

在刚开始几步的迭代中，我们可以选用稍大的时间切片 δ 以加快收敛，当逐渐接近收敛时，可以将 δ 调小以尽可能地减小 Trotter 分解产生的误差。在本次实验中，我们将使用 $\delta = 0.1, 0.01, 0.001$ 分别迭代。

2 代码实现

2.1 3 格点张量的更新

我们首先实现对 3 格点张量 $G_\ell - T_1 - G_1 - T_2 - G_2 - T_3 - G_r$ 的更新。为此，我们首先将这些张量都缩并在一起，然后将这个新的 5 阶张量的 3 个物理指标和时间演化算符 $e^{-\delta\tau h}$ 进行缩并，得到一个新的 5 阶张量。然后，我们对这个 5 阶张量进行 SVD 裂分，并在最左边的虚拟指标上插入 G_ℓ 和 G_ℓ^{-1} ，再将 G_ℓ^{-1} 和分解得到的奇异值矩阵 S_1 分别缩并到右侧的张量上，完成对 T_1 的更新。然后，对右侧的 4 阶张量再进行一次奇异值分解，随后在更新后的 T_1 右侧的虚拟指标上插入 S_1 和 S_1^{-1} ，并立刻将 S_1^{-1} 缩并到右侧的张量上，完成对 T_2 的更新。最后，将最右侧的张量与 G_r^{-1} 缩并起来完成对 T_3 的更新。这个过程用图表示如2。

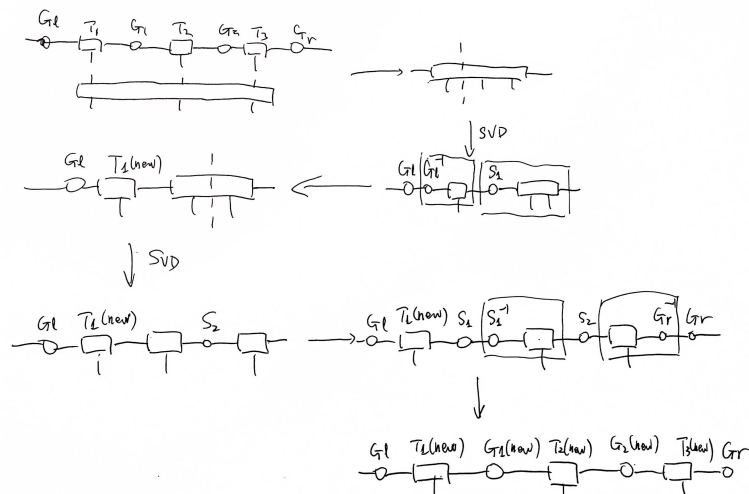


图 2: 抽象画作之：3 位点张量的更新

注意到，在这个更新过程中， G_ℓ 和 G_r 保持不变。另外，在实际的代码实现过程中，我们在每次 SVD 分解后，都根据虚拟指标维数来进行截断。同时，在每次分解完成后，我们将奇异值矩阵 G_1 和 G_2 归一化以避免各张量在指数函数作用多次后数值过大，使得迭代奇异值分解算法无法收敛。代码如下：

```

1 # evolution 2 bonds - G1 - T1 - G1 - T2 - G2 - T3 - Gr - at a time in 3-site iTEBD
2 def Evo_2_bonds(G1, T1, G1, T2, G2, T3, Gr, UH):
3     A = Sub.NCon(
4         [np.diag(G1), T1, np.diag(G1), T2, np.diag(G2), T3, np.diag(Gr), UH],
```

```

5      [[-1, 1], [1, 7, 2], [2, 3], [3, 8, 4], [4, 5], [5, 9, 6], [6, -5], [-2, -3,
6      -4, 7, 8, 9]]
7
8 # record the shape of tensor A
9 DA = np.shape(A)
10
11 # get the matrization of tensor A, preparing for T1 and G1 updating
12 matrix_A = Sub.Group(A, [[0,1],[2,3,4]])
13
14 # update T1 and G1 using SVD decomp.
15 U1, S1, V1 = np.linalg.svd(matrix_A, full_matrices=False)
16 Dc1 = min(len(S1), Ds) #truncate SVD w.r.t. Ds
17 U1 = U1[:, :Dc1]
18 S1 = S1[:Dc1]
19 V1 = V1[:Dc1, :]
20 U1 = np.reshape(U1, [DA[0], DA[1], Dc1]) # reshape matrix U1 to component tensor
21 shape (three legs)
22 T1_new = np.tensordot(np.diag(1.0/G1), U1, (1,0))
23
24 # update T2 and G2 using SVD decomp.
25 U2, S2, V2 = np.linalg.svd(np.reshape(np.diag(S1)@V1, [Ds * DA[2], -1]),
26 full_matrices=False)
27 Dc2 = min(len(S2), Ds) #truncate SVD w.r.t. Ds
28 U2 = U2[:, :Dc2]
29 S2 = S2[:Dc2]
30 V2 = V2[:Dc2, :]
31 T2_new = np.tensordot(np.diag(1/S1), np.reshape(U2, [Dc1, DA[2], Dc2]), (1,0))
32
33 # update T3
34 T3_new = np.tensordot(np.reshape(V2, [Dc2, DA[3], DA[4]]), np.diag(1.0 /Gr), (2,
35 0))
36
37 G1_new = S1
38 S1 /= np.sqrt(np.sum(S1 ** 2))
39 G2_new = S2
40 S2 /= np.sqrt(np.sum(S2 ** 2))
41
42
43 return T1_new, G1_new, T2_new, G2_new, T3_new

```

其中，哈密顿量的构建以及时间演化算符的计算通过以下代码实现：

```

1 def GetHam_IsingCluster(g,J,h):
2     Ham = - g * np.kron(pZ,np.kron(pY,pZ)) - J * np.kron(Id, np.kron(pZ, pZ)) - h * np.
3         kron(Id, np.kron(pX, Id))

```

```

3
4 # reshape the 3-body Hamiltonian into a 6 - order tensor:
5 Ham = np.reshape(Ham,[Dp,Dp,Dp,Dp,Dp,Dp])
6 return Ham
7
8 def GetExpHam(Ham,Tau):
9 Dp = np.shape(Ham)[0]
10
11 if LA.norm(Ham) < 1.0e-12:
12     UH = np.reshape(np.eye(Dp**3),[Dp,Dp,Dp,Dp,Dp])
13 else:
14     # reshape hamiltonian tensor (6-order) into a matrix of size Dp**3, then apply
15     # eigenvalue decomposition
16     A = np.reshape(Ham,[Dp**3,Dp**3])
17
18     # Dc is the bond dimension of the diagonal matrix
19     V,S,Dc = Sub.SplitEigh(A,Dp**3)
20
21     # calculate e^{-\tau S}
22     W = np.diag(np.exp(-Tau*S))
23
24     # update e^A as new A
25     A = np.dot(np.dot(V,W),np.transpose(np.conj(V)))
26
27     # reshape UH = e^{-\tau H} (imaginary time evolution operator) into a 6-order
28     # tensor
29     UH = np.reshape(A,[Dp,Dp,Dp,Dp,Dp,Dp])
30
31 return UH

```

2.2 砖墙形时间演化算符的迭代过程

随后我们可以不断地、每次移动一个位点地（周期为 3）作用时间演化算符，对各位点的张量进行更新。这只需要不断地调用之前定义的 `Evo_2_bonds` 函数即可，其代码实现具体如下所示：

```

1 # iterative itebd procedure:
2 def Evo_3site(Ds,Ham,Tau_list,Iter,Prec):
3     Dp = np.shape(Ham)[0]
4     T,G = init_TG(Dp, Ds, 3)
5
6     r0 = 0

```

```

7     for idt in range(len(Tau_list)):
8         dt = Tau_list[idt]
9         UH = GetExpHam(Ham,dt)
10
11         G0 = np.ones(3)
12         for r in range(Iter):
13             for bond in range(3):
14                 T[bond], G[bond], T[(bond+1)%3], G[(bond+1)%3], T[(bond+2)%3] =
Evo_2_bonds(
15                         G[(bond-1)%3], T[bond], G[bond], T[(bond+1)%3], G[(bond+1)%3], T
16                         [(bond+2)%3], G[(bond+2)%3], UH
17                         )
18
19         Err = 0.0
20         for i in range(3):
21             Err += np.abs(G[i][0]-G0[i])
22             #if np.mod(r,100) == 1:
23             #print(r+r0,Err)
24             if Err < Prec[idt]:
25                 r0 += r
26                 break
27             for i in range(3):
28                 G0[i] = G[i][0]
29         print("Convergence is achieved!")
30     return T,G

```

这里，接收的参数 `Prec` 指的是每一轮迭代的收敛判定条件。在本实验中由于收敛整体较快，我们统一采用 10^{-15} 作为收敛判定条件。

2.3 能量、磁化、纠缠熵和纠缠谱的计算

这些计算的实现都很容易，我们首先定义如下的函数，它接受一个涉及到 3 个不对称自旋位点的 3 体算子，返回该 3 体算子的期望值 $\langle \psi | O | \psi \rangle$ 。代码实现如下：

```

1 # calculate 3-body operator
2 def Cal_2_bonds(Op, G1, T1, G1, T2, G2, T3, Gr):
3     vec = Sub.NCon([np.diag(G1), T1, np.diag(G1), T2, np.diag(G2), T3, np.diag(Gr)],
4                   [[-1, 1], [1, -2, 2], [2, 3], [3, -3, 4], [4, 5], [5, -4, 6], [6, -5]])
5     expectation = Sub.NCon([vec, Op, np.conj(vec)],
6                            [[7, 1, 2, 3, 8], [4, 5, 6, 1, 2, 3], [7, 4, 5, 6, 8]])
7     return expectation

```

该缩并过程的张量网络图表示为图3：

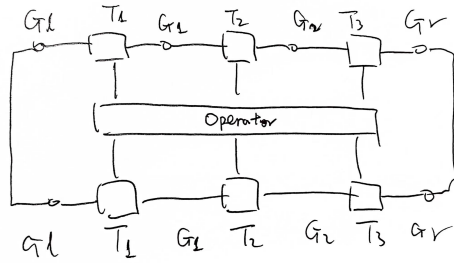


图 3: 计算 3 体算子期望值的张量网络图

将三体算子分别换成 3 位点哈密顿量 $h_{j,j+1,j+2}$ 、 X 方向的磁化 $X \otimes \text{Id} \otimes \text{Id}$ 和 Z 方向的磁化 $X \otimes \text{Id} \otimes \text{Id}$ ，即可实现对各种可观测量的期望值计算，注意归一化：

$$\langle O \rangle = \frac{\langle \psi | O | \psi \rangle}{\langle \psi | \psi \rangle}, \quad (7)$$

代码实现如下：

```

1 # calculate energy after convergence is reached
2 def Cal_energy(T, G, Ham):
3     D = np.shape(Ham)[0]
4
5     # identity tensor for <psi|psi> calculation
6     H00 = np.reshape(np.eye(D**3,D**3),[D,D,D,D,D,D])
7
8     normalize = np.zeros(3)
9     energy = np.zeros(3)
10
11    for bond in range(3):
12
13        normalize[bond] = np.real(\n
14            Cal_2_bonds(H00, G[(bond-1)%3], T[bond], G[bond], T[(bond+1)%3], G[(bond+1)\n
15            %3], T[(bond+2)%3], G[(bond+2)%3]))
16
17        energy[bond] = np.real(\n
18            Cal_2_bonds(Ham, G[(bond-1)%3], T[bond], G[bond], T[(bond+1)%3], G[(bond+1)\n
19            %3], T[(bond+2)%3], G[(bond+2)%3]))
20
21        energy[bond] /= normalize[bond]
22        print(f'bond i = {bond}, energy: {energy[bond]}')
23
24    energy = np.mean(energy)
25    print(f'average energy: {energy}')

```

```

24
25     return energy

```

以及磁化:

```

1 # calculate x- and z- magnetization after convergence is reached
2 def Cal_mag(T, G):
3     S0, Sp, Sm, Sz, Sx, Sy = Sub.SpinOper(Dp)
4     D = Dp
5
6     H00 = np.reshape(np.eye(D**3,D**3),[D,D,D,D,D,D])
7     xmag_op = np.reshape(np.kron(pX, np.kron(Id, Id)),[D,D,D,D,D,D])
8     zmag_op = np.reshape(np.kron(pZ, np.kron(Id, Id)),[D,D,D,D,D,D])
9
10    xmag_val = np.zeros(3)
11    zmag_val = np.zeros(3)
12    normalize = np.zeros(3)
13
14    for bond in range(3):
15        normalize[bond] = np.real(\n
16            Cal_2_bonds(H00, G[(bond-1)%3], T[bond], G[bond], T[(bond+1)%3], G[(bond+1)\n
%3], T[(bond+2)%3], G[(bond+2)%3]))
17        xmag_val[bond] = np.real(\n
18            Cal_2_bonds(xmag_op, G[(bond-1)%3], T[bond], G[bond], T[(bond+1)%3], G[(bond\n
+1)%3], T[(bond+2)%3], G[(bond+2)%3]))
19        xmag_val[bond] /= normalize[bond]
20        zmag_val[bond] = np.real(\n
21            Cal_2_bonds(zmag_op, G[(bond-1)%3], T[bond], G[bond], T[(bond+1)%3], G[(bond\n
+1)%3], T[(bond+2)%3], G[(bond+2)%3]))
22        zmag_val[bond] /= normalize[bond]
23        print(f'bond i = {bond}, <\sigma_x>: {xmag_val[bond]}, <\sigma_z>: {zmag_val\n
[bond]}')
24
25    xmag_val = np.mean(xmag_val)
26    zmag_val = np.mean(zmag_val)
27    print(f'average <\sigma_x>: {xmag_val}')
28    print(f'average <\sigma_z>: {zmag_val}')
29    return xmag_val, zmag_val

```

最后，我们利用 gauge tensor G_i 还可以计算出纠缠信息。根据纠缠谱的定义， i 位点的纠缠熵和纠缠谱分别是：

$$G_i = (\lambda_1, \dots, \lambda_m), \quad S_i = - \sum_{j=1}^m \lambda_j^2 \log \lambda_j^2, \quad \text{Sp}_j = -\log \lambda_j \quad (8)$$

2.4 结果

我们对 $N_s = 10$, $D_s \in \{4, 6\}$ 运行程序, 输出结果如下:

```

1 (1) Magnetization
2 bond i = 0, <\sigma_x>: 0.4497740171328866, <\sigma_z>: 0.7391289425707998
3 bond i = 1, <\sigma_x>: 0.44911445420513546, <\sigma_z>: 0.7398519781418951
4 bond i = 2, <\sigma_x>: 0.44971885477024043, <\sigma_z>: 0.7391590144300675
5 average <\sigma_x>: 0.44953577536942085
6 average <\sigma_z>: 0.7393799783809207
7
8 (2) Energy
9 bond i = 0, energy: -1.491042002070756
10 bond i = 1, energy: -1.4918327863614669
11 bond i = 2, energy: -1.492590945298813
12 average energy: -1.4918219112436786
13
14 (3) Entanglement
15 bond i = 0, entanglement entropy: 0.15503835872018487, entanglement spectrum:
   [0.01764924 1.69404765 3.51996748 5.32201447 5.82359753 6.8896785 ]
16 bond i = 1, entanglement entropy: 0.15513577081522514, entanglement spectrum:
   [0.01766313 1.69367871 3.51898026 5.31943709 5.82176432 6.88861417]
17 bond i = 2, entanglement entropy: 0.15513577081547975, entanglement spectrum:
   [0.01766313 1.69367871 3.51898026 5.31943709 5.82176432 6.88861417]
18 average entanglement entropy: 0.15510330011696324, average entanglement spectrum:
   [0.017658498271772797, 1.693801692463181, 3.5193093316947617, 5.320296220290019,
   5.822375391993937, 6.888968950190111]
```

此处的基态的 Z 磁化可能为正值或负值（相当于自旋链上下翻转）。

需要注意的是，虚时间演化算符 $e^{-\tau h_{j,j+1,j+2}}$ 并非酉算符，因此，它会破坏 MPS 的正则性。

但是同样地，当 τ 接近于 0 时，演化算符接近单位阵，因此在虚时间演化中，一般需要减小 τ ，这样不但能够减小 Trotter-Suzuki 误差，而且能减少演化算符对 MPS 正则性的破坏。